

N-S

III - 3455

N_2 & SO_2 in. ($\frac{OH}{H_2O}$) 1939

N-5

Douglas R.W. Ferguson
C.V.

1. Jnd. Eng. Chem., 1939, 31

112-13

B

1

卷之三

✓ 23

Вознесенский С. Я.

1955

8
соединение
с азотом

Успехи химии, 1955, № 4,
440-452.

Атомическое соединение серы.
Обзор. Глуб. 47 нанометр.

X-55-23-54879

8 - Unpublished

1964

Pentasulfur triimides: completion of a class of cyclic S imides. Henry Heal and James Kane (Queens Univ., Belfast, Ire.). *Nature* 203(4948), 971-2(1964). The crude reaction product from 420 ml. of S_2Cl_2 and NH_4O_2S in $HCONMe_2$ was extd. with Et_2O . The diimides and triimides were concd. and sep'd. by fractional crystn., and isolated by chromatography on silica gel. One compd. formed colorless needles, m.p. 131° , mol. wt. 180, and gave strong infrared bands at 3.01, 11.99, and 12.284. The 2nd isomer had a m.p. 124° and mol. wt. 210, and gave infrared bands at 3.004, 11.82, and 12.124. Stanley R. Kaye

C.A. 1964: 61:12
14169 c

S (*N*-содим.
иониды)

1966

- 18 B57. Некоторые соединения серы с азотом.
Часть II. Имиды серы. Becke-Goehring Margot.
Some sulphur-nitrogen compounds. Part II. Sulphur imides. «Sulphur Inst. J.», 1966, 2, № 2, 9—12 (англ.)
Обзор. Библ. 51.

X · 1967 · 18

1974

$$S_7N \equiv NS_4^- + \frac{3}{8} S_8$$

149348d Sulfur imides in basic organic solvents. Synthesis and characterization of tetrabutylammonium perthionite. Chivers, T.; Drummond, I. (Dep. Chem., Univ. Calgary, Calgary, Alberta). *Inorg. Chem.* 1974, 13(5), 1222-5 (Eng). Solns. of heptasulfur imide (S_7NH) in hexamethylphosphoramide (HMPA) are deep blue. The blue species was isolated as the Bu_4N salt and characterized as the NS_4^- anion. Infrared and Raman spectra suggest a branched chain structure. Solns. of S_7NH in DMF contain both S_7N^- and NS_4^- in equil.; spectrometric and conductometric results were used to estimate the aq. pK_a (S_7NH) at 25° to be ~ 5 , and to calc. the equil. const. for the reaction, $S_7N^- \rightleftharpoons NS_4^- + \frac{3}{8} S_8$, $K = 0.13 \pm 0.06$. Solns. of 1,4- $S_6(NH)_2$ in HMPA slowly turn blue to give 1 mole NS_4^- per $S_6(NH)_2$.

(Kp)

C.A. 1974. 80. N26

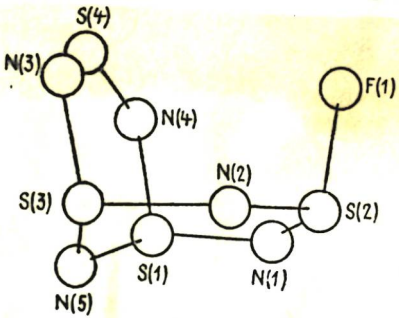
S_4N_5F

1983

Mews Rüdiger, Sheldrick George M., Vag-
tetzko Richard, Gleiter Rolf. «Z. Naturforsch.»,
1983, B38, № 12, 1563—1567 (нем.; рез. англ.)

Добавлением ионов F^- к катиону $S_4N_5^+$ в жидким
 SO_2 получен $\underline{S_4N_5F}$ (I) и проведено его рентгенострук-
турное исследование (λ Mo, 1947 отражений, анизотроп-
ное приближение, $R = 0,033$). Кристаллы I трикл., $a =$
6,157, $b = 10,536$, $c = 10,847\text{ \AA}$, $\alpha = 66,44^\circ$, $\beta = 88,75^\circ$, $\gamma = 82,20^\circ$,
 $Z = 4$, ф. гр. $P\bar{1}$. Бициклич. молекулу I (см. рис.) можно

ж. 1984, 19, № 11



описать как пр-ное каркасной системы S_4N_4 , в к-рой трансаннулярная связь $S-S$ заменяется на N-мостиковую. В анионе $S_4N_5^-$ вторая связь $S-S$ сохраняется ($S-S$ 2,71 Å), а в катионе расщепляется ($S \dots S$ 3,907 Å); в I это расстояние немного укорачивается ($S_{(2)} \dots S_{(4)}$ 3,831 Å). Длины связей $S(F)-N$ 1,574–1,591 Å в I близки к найденным в $S_3N_3F_3$ (1,587, 1,598 Å), $S-F$ 1,665, 1,660 Å немного длиннее (в $S_3N_3F_3$ 1,610 Å). Средн. значения длин связей ($S_{(3)}-N_{(3)}$ 1,717, $S_{(1)}-N_{(4)}$ 1,706, $S_{(4)}-N_{(3)}$ 1,551, $S_{(4)}-N_{(4)}$ 1,546 Å) позволяют описывать I как серадинимидо-мостиковую S_3N_3X -систему. Расчет методом MNDO/1 для I и S_4N_5Cl (II) показывает, что син-изомер должен быть стабильнее транс-изомера на 0,74 ккал/моль для I и 0,98 ккал/моль для II; энергии активации перехода син-анти равны соотв. 46,7 и 28,5 ккал/моль. Наблюдающееся образование I в анти-форме, по-видимому, обусловлено кинетич. факторами.

Н. Г. Фурманова

$(\text{NH}_4)_2\text{SO}_4$

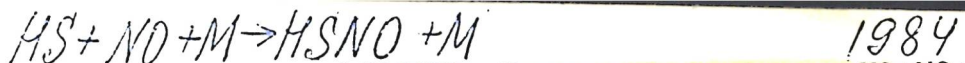
1984

9 E619. Низкотемпературный фазовый переход в $(\text{NH}_4)_2\text{SO}_4$. On the low temperature phase transition in $(\text{NH}_4)_2\text{SO}_4$. Bard Y. A., Awad S. «J. Phys. and Chem. Solids», 1984, 45, № 3, 351—353 (англ.)

На моно- и поликристаллич. образцах сульфата аммония в широком диапазоне частот измерена температурная зависимость диэлектрич. постоянной ϵ' и диэлектрич. потерь ϵ'' . При охлаждении до -50°C обнаружено резкое увеличение этих величин, обусловленное фазовым переходом. Это увеличение связывается с сегнетоэлектрич. характером низкотемпературной фазы и объясняется вращением электрич. диполей, образованных искаженными комплексами NH_4^+ и SO_4^{2-} . Согласно данным ДТА и дилатометрии, переход относится к 1-му роду. Слабые аномалии измеренных величин вблизи -40°C приписываются необратимому переходу высокотемпературной ромбич. фазы в промежуточную метастабильную гексаг. модификацию.

Б. Г. Алапин

cf. 1984, 18, № 9



1984

$$(M = He, Ar и H_2)$$

21 Б4058. Константы скорости реакции $HS + NO + M \rightarrow HSNO + M$ ($M = He, Ar$ и H_2) в температурном интервале 250—445 К. Rate coefficients for the reaction $HS + NO + M \rightarrow HSNO + M$ ($M = He, Ar$, and N_2) over the temperature range 250—445 K. Black G., Patrick R., Jusinski L. E., Sanger T. G. «J. Chem. Phys.», 1984, 80, 6 9, 4065—4070 (англ.)

Кинетика гибели радикалов HS, генерируемых в р-ции фотодиссоциации H_2S на длине волны 193 нм, изучена методом ЛИФ-спектроскопии в т-ром интервале 250—445 К при давл. H_2S 0,02 Торр, давл. инертного газа 50—750 Торр в присутствии 0,25—1,5 Торр NO. Т-ные зависимости констант скорости тримолек. р-ций $HS + NO + M$ описаны выражениями вида $10^\alpha T^{-\beta}$ [$\text{см}^3/(\text{молекула}^2 \cdot \text{с})$], где α и β для различных инертных газов равны, соотв.: —22,56 и 3,28 для He; —23,27 и 2,98 для Ar; —24,43 и 2,48 для N_2 . Константа скорости р-ции в пределе высоких давл. равна $2,7 \cdot 10^{-11} \text{ см}^3/(\text{молекула} \cdot \text{с})$. Кинетич. данные интерпретированы в рамках теории Маркуса. Обсуждается роль

Х. 1984, 19, N 21.

изученной р-ции в стратосферных процессах.

Н. В. Чуканов

дТБи
сост
—

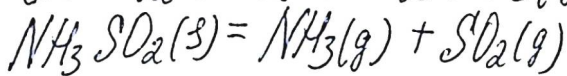
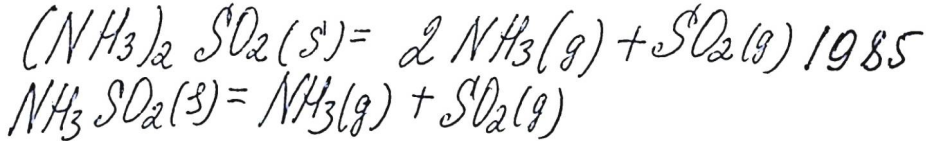
(NH₄)₂S₂O₃

1984

103: 79828c Structural phase transitions in ammonium thiosulfate ((NH₄)₂S₂O₃). Teng, S. T.; Fuess, H.; Ihringer, J. (Inst. Kristallogr. Mineral., Univ. Frankfurt, D-6000 Frankfurt am Main, 1 Fed. Rep. Ger.). *Z. Kristallogr.* 1984, 169(1-4), 257-66 (Eng). The structural phase transitions in (NH₄)₂S₂O₃ were studied by DSC, x-ray and neutron diffraction. The low-temp. α -phase transforms at 80 K to the monoclinic β -phase and at 402 K to an orthorhombic γ -phase. The structure of the β -phase was detd. at room temp. by x-ray diffraction and at 100 K by neutron measurements (space group C2, a 10.142(6), b 6.158(7), c 8.748(7) Å, and β 93.33(6) $^\circ$ at 100 K). The low-temp. structure was refined from profile anal. of powder x-ray pattern and is triclinic with a 10.1413(5), b 6.4768(4), c 8.7126(5) Å, α 89.647(3), β 93.638(3), and γ 89.678(3) $^\circ$. It is characterized by an order in the NH₄⁺ group. Guinier-Simon powder pattern revealed a further transition to an orthorhombic symmetry at 402 K. At. coordinates are given.

(Tr)

C. A. 1985, 103, N10.



(S₂H₁)
b₂S

102: 173610b Redetermination of the thermodynamics of the reactions ammonia.sulfur dioxide $((NH_3)_n \cdot SO_2(S) \rightleftharpoons n(NH_3(g)) + SO_2(g)$. Landreth, Ronald; De Pena, Rosa G.; Heicklen, Julian (Cent. Air Environ. Stud., Pennsylvania State Univ., University Park, PA 16802 USA). *J. Phys. Chem.* 1985, 89(9), 1690-2 (Eng). The heat and entropy values for the reactions $(NH_3)_2SO_2(S) \rightleftharpoons 2NH_3(g) + SO_2(g)$ and $NH_3SO_2(S) \rightleftharpoons NH_3(g) + SO_2(g)$ were reevaluated.

C.A.1985, 102, N20

S₇NH

1987

2 Б4045. Пиролиз гептатиазоина. The pyrolysis of heptathiazocine. Kudo Y., Hamada S. «Bull. Chem. Soc. Jap.», 1987, 60, № 7, 2391—2394 (англ.)

Термогравиметрически изучен процесс пиролиза гептатиазоина (S_7NH) в атмосфере аргона. При T -рах выше 383 К с измеримыми скоростями протекает термолиз S_7NH с образованием NH_3 , S_4N_4 и S_4N_2 ; конечные продукты образуются согласно р-ции $S_7NH \rightarrow 7/8 S_8 + 1/3 N_2 + 1/3 NH_3$. На основании данных дифференциальной сканирующей калориметрии вычислено значение стандартной энталпии образования $\underline{S_7NH} = 89.3 \pm 1.1$ кДж/моль. Близкие значения (91—93 кДж/моль) получены расчетами по методу Сандерсена, предполагающему практическое отсутствие водородных связей в кристалле. По резюме

Диф;

Х. 1988, 19, № 2.

2000

F: N₂O₃-H₂SO₄

P: 1

132:256604 Equilibrium between nitrogen(III) oxide
and sulfuric acid. Kim P.; Pastukhova, G. V.;
Peretrutov, A. A. Dzerzhinskii Filial, Nizhegorod's
Gos. Tekh. Univ Dzerzhinsk, Russia Zh. Prikl.
Khim. (S.-Peterburg), 73(2), 338-339 (Russian) 2000

Soly. of gaseous nitrogen sesquioxide in aq.
sulfuric acid was studied a 30-50 .degree.C in wide
intervals of the gas partial pressures and the ac
concns. Phase equil. were analyzed. and an equation was
proposed to det. maximal soly. of the gas in the acid.

C-A. 2000, 132

F: NSF3
P: 3

1999

01.14-19Б1.83. Спектр 2pS-
фотопоглощения в NSF[3]. The sulphur 2p
photoabsorption spectrum of NSF[3] /
Jurgensen Astrid, Kosugi Nobuhiro, Cavell
Ronald G. // Chem. Phys. - 1999. - 247, N 3,
363-372. - С. 445-452. - Англ.

С использованием синхротронного
излучения с высоким разрешением
получен спектр 2pS-фотопоглощения
газообразного NSF[3]. Идентификация
предкраевых спектральных свойств
проведена с помощью теоретич. расчетов

методом *ab initio*. Показано, что подобно изоэлектронному OPF[3] и других пирамидальных соединений фосфора имеют место 2 состояния, которые лучше всего описываются в приближении LS-связи. Описание посткраевых спектральных свойств дано на основе расчетов методом X['альфа'].
Библ. 21. Т. А. Ш.

NCS

1999

F: NCS

P: 3

2Б170. Вибронно-вращательные состояния радикала NCS в [электронном] состоянии X{2}'ПИ'. Ro-vibronic states of the NCS radical in the X{2}'ПИ' state / Ouazbir M., Chambaud G., Rosmus P., Knowles P. J. // Phys. Chem. Chem. Phys. - 1999. - 1, 11. - С. 2649-2655. - Англ.

На основе построенных трехмерных функций потенциальной энергии с использованием методов ССП в полном активном пространстве и КВ с множественными исходными конфигурациями и проведенных с применением этих функций вариационных расчетов электронно-колебательно-вращательных уровней энергии ($J=P$, $J' \leq 7/2$) в области до 4000 см^{-1} обсуждена проблема реннер-теллеровского эффекта для радикала NCS в электронном состоянии X{2}'ПИ'. Библ. 32.